

# تهیه نانوالیاف پلی اکریلونیتریل و اصلاح شده سطحی با دی‌اتیلن تری‌آمین برای جذب یون کادمیم

زهرا مختاری-شوریجه<sup>۱</sup>، مهدی رفیع‌زاده<sup>۲</sup>، مهرنوش محمدی<sup>۳</sup>

۱- دانشجوی کارشناسی ارشد مهندسی شیمی، دانشکده فنی و مهندسی، دانشگاه آزاد اسلامی واحد تهران جنوب

۲- استاد، دانشکده فنی و مهندسی، دانشگاه آزاد اسلامی واحد تهران جنوب

(نویسنده مسئول) (۰۲۱) ۶۴۵۴۴۰۵ Mehdi@aut.ac.ir

۳- مریم و عضو هیئت علمی، دانشکده فنی و مهندسی، دانشگاه آزاد اسلامی واحد تهران جنوب، تهران

(دریافت ۹۳/۸/۱) پذیرش ۹۴/۲/۲۷

## چکیده

در این پژوهش نانوالیاف پلی اکریلونیتریل به روش الکترورسی تهیه شد. به این منظور محلول پلی اکریلو نیتریل و دی‌تیبل فرمامید با غلظت ۱۰ درصد وزنی در میدان الکتریکی ۲۱ کیلوولت و فاصله صفحه ۱۶ سانتی‌متر تحت ریسندگی قرار گرفت و نانوالیاف با قطر متوسط ۱۰۰ نانومتر تولید شد. الیاف به دست آمده دارای قطرهای یکنواخت و متفاوتی بود. مورفولوژی نانو الیاف به وسیله SEM بررسی شد. در مرحله بعد سطح نانوالیاف توسعه دی‌اتیلن تری‌آمین عامل دار شد و سپس با استفاده از اسپکتروفوتومتر FTIR از وجود گروه‌های آمین در سطح نانوالیاف اطمینان حاصل شد و از این الیاف آمین دار شده برای جذب یون کادمیم استفاده شد. در فرایند جذب خصوصیات شیمیایی الیاف و تاثیرات پارامترهای مانند pH، دما و زمان مورد مطالعه قرار گرفت. بررسی‌ها نشان داد در pH ۵ تا ۷، بیش از ۸۰ درصد یون‌های کادمیم در مدت ۱۰ دقیقه اول جذب الیاف شد و پس از ۱۰ دقیقه با گذشت زمان بیشتر، تغییر اندکی در افزایش میزان جذب مشاهده شد و با افزایش دما، مقدار جذب یون‌های کادمیم از مدل لانگمیر تعییت می‌کند. در این پژوهش برای اولین بار جذب یون کادمیم توسعه نانوالیاف پلی اکریلونیتریل آمین دار انجام شد.

**واژه‌های کلیدی:** نانو الیاف، پلی اکریلو نیتریل، کادمیم، اصلاح سطح، جذب

## ۱- مقدمه

صنعتی شدن، گسترش شهرنشینی و همچنین انتشار فلزات سنگین در محیط زیست، مشکلات زیادی را در سرتاسر جهان به وجود آورده است. افزایش معدن‌کاری و فعالیت‌های صنعتی به تدریج باعث پراکندگی بسیاری از فلزات سمی از پوسته زمین به محیط زیست شده است.

در بسیاری از صنایع کشور بازیابی پساب صنعتی به‌منظور افزایش تولید و ایجاد شرایط و فضای توسعه انجام می‌شود. اصولاً یکی از ارکان مهم توسعه پایدار در بخش صنعت جلوگیری از آلودگی‌های ناشی از فعالیت‌های صنعتی به‌ویژه فاضلاب صنعتی و تصفیه فاضلاب با روش‌های مناسب و استاندارد قابل قبول در جهت استفاده مجدد و بازیافت آب است. در صنایع فلزی، فرایند تولید و پوشش قطعات فلزی، مقدار زیادی پساب آلوده به فلزات سنگین از قبیل مس، کادمیم، نقره، جیوه، کروم و نیکل ایجاد می‌کند. این عناصر از خطرناک‌ترین عوامل آرینده محسوب می‌شوند و اثرات ژنتیکی و سرطان‌زاوی آنها به اثبات رسیده است [۱].

روش‌های جداسازی فلزات سنگین از پس‌آب شامل اسمز

معکوس، تهشین‌شدن شیمیایی، الکتروشیمیایی و تبادل یونی و جذب است. اصطلاح sorption وقی به کار می‌رود که جذب و جذب سطحی هم‌زمان اتفاق افتد یا یکی از فرایندها قابل تشخیص از دیگری نباشد [۲].

برای جذب یون از الیاف مختلفی استفاده می‌شود، اما پژوهشگران توجه ویژه‌ای به الیاف اکریلیک دارند، علت این امر مقاومت بالای این الیاف نسبت به حرارت، نور خورشید، حشرات و میکروارگانیسم‌ها و تأثیرپذیری ناچیز از اسیدها و بازهای ضعیف، حلال‌های آلی و اکسیدکننده‌ها است [۳].

در سال‌های اخیر مطالعات بسیاری برای جذب فلزات سنگین با استفاده از نانوالیاف اکریلونیتریل انجام شده است و از روش‌های گوناگونی برای تغییر سطح نانوالیاف استفاده شده است. در پژوهش‌هایی برای ساخت نانوالیاف پلی اکریلونیتریل اصلاح شده با هیدرازین از واکنش‌های آمینه کردن و سولفونه کردن استفاده شده است. به این ترتیب که واکنش آمینه کردن الیاف پلی اکریلونیتریل اصلاح شده با هیدرازین در حضور محلول ۳۳ درصد دی‌اتیلن آمین در دمای ۹۵ تا ۹۷ درجه سلسیوس برای مدت ۸ ساعت انجام شده است. درصد افزایش وزن الیاف در محدوده ۲۸ تا ۳۴ درصد

شرایط زیر ساخته شد: فاصله سر سوزن تا صفحه وب ۱۶ سانتی متر، ولتاژ ۲۱ کیلوولت و دبی تزریق برابر ۱۵۰ میکرولیتر بر ساعت.

### ۳-۳- آمین دار کردن الیاف

در این آزمایش الیاف به مدت ۳ ساعت در یک بشر ۲۵۰ میلی لیتری حاوی ۱۰۰ میلی لیتر محلول آب مقطر و ۳۱/۵۱۵ گرم دی اتیلن تری آمین و ۱ گرم کربنات سدیم در دمای ۹۵ درجه سلسیوس قرار گرفت.

سپس الیاف از محلول جدا و با آب مقطر شسته شد. این شستشو تا زمانی که pH الیاف به ۷ برسد، ادامه داشت تا مواد عامل دارکننده از سطح الیاف کاملاً شسته شدند. سپس الیاف به مدت ۲۴ ساعت در آون در دمای ۸۰ درجه سلسیوس کاملاً خشک شدند.

در صد تبدیل گروههای نیتریل به آمین از طریق رابطه زیر محاسبه می شود [۶ و ۷].

$$G = \frac{W_1 - W_0}{W_0} \frac{M_0}{M_1} \times 100 \quad (1)$$

که G در صد تبدیل گروه نیتریل به آمین در PAN وزن نانو الیاف قبل از عامل دار کردن،  $W_1$  وزن نانو الیاف عامل دار شده،  $M_1$  وزن مولکولی آمین گرفت شده (۱۰۳ گرم) و  $M_0$  وزن مولکولی مونومر اکریلونیتریل (۵۳ گرم) است.

### ۴-۲- تعیین زمان تعادل جذب

در مرحله اول برای تعیین زمان تعادل جذب برای نانو الیاف عامل دار شده، ۱۰۰ میلی لیتر از محلول کلرید کادمیم با غلظت ۱۰۰۰ میلی گرم در لیتر تهیه شد و در یک بشر ۲۵۰ میلی لیتر ریخته شد. سپس نانو الیاف عامل دار شده در داخل محلول قرار گرفت. در دمای محیط پس از گذشت زمان های ۳۰، ۲۰، ۱۰، ۲۴۰، ۱۲۰ و ۶۰ دقیقه از محلول مورد نظر نمونه برداری انجام شد. سپس غلظت نمونه ها تعیین شد تا زمان تعادل و اشباع شدن نمونه ها مشخص شود.

### ۵-۲- تعیین اثر pH بر مقدار جذب

ابتدا ۱۰۰ میلی لیتر از محلول کلرید کادمیم با غلظت ۱۰۰۰ میلی گرم در لیتر تهیه شد و در یک بشر ۲۵۰ میلی لیتر ریخته شد. سپس نانو الیاف عامل دار شده در داخل محلول قرار گرفت. غلظت

به دست آمده است. نتایج آزمایش ها نشان می دهد که افزایش ۵ درجه ای در دمای واکنش، باعث افزایش شدید سرعت آمینه کردن الیاف اصلاح شده با هیدرازین می شود، در حالی که در واکنش عامل دار کردن الیاف آمینه شده با گروه عاملی تیوآمید، دما یک عامل بی اثر است [۴].

در پژوهش دیگری که توسط عبدوس و همکاران انجام شده است، روش جدیدی برای آمین دار کردن الیاف پلی اکریلونیتریل ارائه شده است. در این پژوهش برای هر گرم الیاف پلی اکریلونیتریل، از محلولی حاوی ۲۰ میلی لیتر دی اتیلن تری آمین غوطه ور در ۴۰ میلی لیتر آب مقطر استفاده شده و زمان و دماهای مختلف برای آمین دار شدن الیاف در نظر گرفته شده است. اما بهترین شرایط برای آمین دار کردن الیاف، محلول ۳/۲ مولار از دی اتیلن تری آمین به مدت ۸ ساعت و در دمای ۹۲ درجه سلسیوس بوده است که این الیاف توانایی بالایی در جذب یون های مس، سرب و کروم داشته اند؛ اما توانایی الیاف در جذب سرب بیشتر از سایر یون ها بوده است [۵].

در این پژوهش برای ساخت الیاف پلی اکریلونیتریل از روش الکتروریسی استفاده شد. سپس الیاف عامل دار شدند و برای جذب یون کادمیم که کمتر از سایر یون های فلزات دیگر مورد مطالعه قرار گرفته بود، استفاده شدند. در آزمایش های انجام شده جذب یون های کادمیم با استفاده از کلیت کردن<sup>۱</sup> صورت گرفت. عوامل مختلف نظیر pH، دما و زمان مورد مطالعه قرار گرفت و ایزوترم های لانگکیر و فروندلیچ و معادلات سرعت درجه اول و دوم بررسی شد.

## ۲- مواد و روش ها

### ۲-۱- مواد شیمیایی

پلی اکریلونیتریل حاوی ۹۳/۷ درصد اکریلیک نیتریل و ۶/۳ درصد متیل اکریلیت  $Mv=70000\text{ mol.Lit/gr}$  ساخته شده در کارخانه پلی اکریل اصفهان، دی اتیلن فرمالید<sup>۲</sup> و دی اتیلن تری آمین<sup>۳</sup>، کربنات سدیم و کلرید کادمیم خریداری شده از شرکت مرک آلمان مورد استفاده قرار گرفت.

### ۲-۲- الکتروریسی (تولید نانو الیاف پلی اکریلونیتریل)

محلولی از پلی اکریلونیتریل و دی اتیلن فرمالید با غلظت جرمی ۱۰ درصد وزنی ساخته شد. سپس الیاف به وسیله دستگاه الکتروریسی با

<sup>1</sup> Chelating

<sup>2</sup> DMF

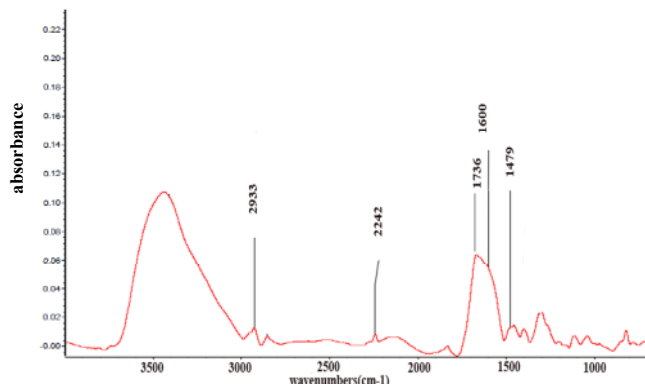
<sup>3</sup> DETA

<sup>4</sup> Merck

## ۲-۳- بررسی گروههای عاملی ایجاد شده در نانو الیاف اصلاح شده

در اسپکتروسکوپی ATR هر پیوند دارای فرکانس ارتعاش طبیعی خاصی است. بنابراین هیچگاه دو مولکول با ساختمانهای مختلف جذب مادون قرمز مشابهی نمی‌دهند. طیف ATR الیاف خام شامل یک پیک ارتعاشی کششی در  $224\text{ cm}^{-1}$  است که نشان دهنده پیوند  $\text{C}\equiv\text{N}$  است و پیک  $1736\text{ cm}^{-1}$  که نشان دهنده ارتعاش کششی گروه  $\text{C}=\text{O}$  است. وجود این پیک‌ها کوپلمر بودن الیاف پلی اکریلونیتریل با متیل اکریلات را تأیید می‌کند. در الیاف خام  $2933\text{ cm}^{-1}$  کشش باند  $\text{CH}$  در گروههای  $\text{CH}_2$  و  $\text{CH}_3$ ، پیک  $1736\text{ cm}^{-1}$  کشش باند  $\text{C}\equiv\text{N}$ ، پیک  $224\text{ cm}^{-1}$  کشش باند  $\text{O}=\text{C}$  است. پس از واکنش نانو الیاف PAN با محلول دی‌اتیلن تری‌آمین، طیف الیاف تغییرات زیادی را نشان می‌دهد. شکل ۲ نانو الیاف پلی اکریلونیتریل عامل دار شده را نشان می‌دهد. کاهش شدید پیک  $1736\text{ cm}^{-1}$  و کشش باند  $\text{C}=\text{O}$  بیانگر ناپدیدی شدن گروه متیل اکریلات از سطح الیاف PAN پس از واکنش و تبدیل آن به گروه کربونیل آمیدی است [۸].

تشکیل گروه  $\text{NH}$  بر سطح نانو الیاف عامل دار شده به دلیل واکنش دی‌اتیلن تری‌آمین با گروه نیتریل در سطح الیاف است. لذا گروه نیتریل، قبل از واکنش با دی‌اتیلن تری‌آمین ابتدا به گروه  $\text{C}\equiv\text{N}$  هیدرولیز می‌شود. کاهش شدید پیک  $224\text{ cm}^{-1}$  برای گروه  $\text{C}=\text{O}$  در الیاف APAN-nF در شکل ۲، که تقریباً ناپدید شده است، نشان می‌دهد که درصد زیادی از گروههای نیتریل در حین این واکنش تبدیل شده است. به علاوه حضور پیک‌های پهن جدید در  $1600$  و  $1479\text{ cm}^{-1}$  به ترتیب بیانگر ارتعاش کششی گروه کربونیل آمیدی و ارتعاش خمشی گروه  $\text{N}-\text{H}$  در آمین است. این نتایج نشان می‌دهد که گروههای آمین و آمید در APANF بر روی کربن‌های گروه نیتریل و کربونیل مستقر می‌شوند [۹].



شکل ۲- ATR نانو الیاف آمین دار شده پلی اکریلونیتریل

محلول کلرید کادمیم و آب در pHهای ۴، ۶، ۷ و ۸ پس از ۴ ساعت اندازه‌گیری شد.

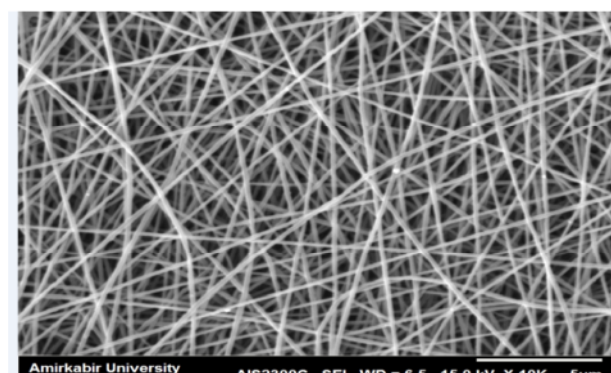
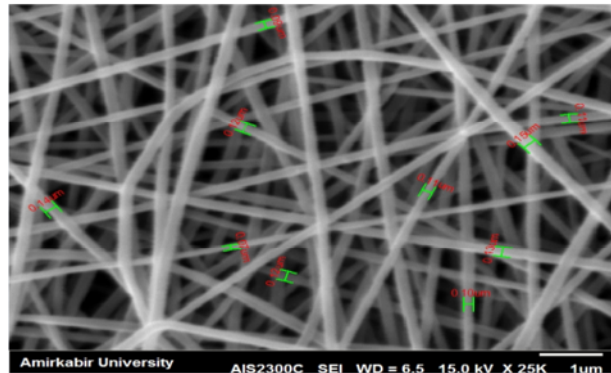
## ۶- تعیین دما بر مقدار جذب

ابتدا ۱۰۰ میلی‌لیتر از محلول کلرید کادمیم با غلظت ۱۰۰۰ میلی‌گرم در لیتر تهیه شد و در یک بشر ۲۵۰ میلی‌لیتر ریخته شد. سپس نانو الیاف عامل دار شده در داخل محلول قرار گرفت و غلظت محلول کلرید کادمیم و آب در دمای ۲۵، ۳۵ و ۴۵ درجه سلسیوس بعد از ۴ ساعت تعیین شد.

## ۳- نتایج و بحث

### ۳-۱- میکروسکوپ الکترونی روشنی (SEM)

پس از الکترونی روشنی و ساخت نانو الیاف از میکروسکوپ الکترونی روشنی برای بررسی قطر نانو الیاف و عدم وجود بید در نانو الیاف استفاده شد. همانطور که در شکل ۱ مشاهده می‌شود، قطر نانو الیاف تولیدی بین ۹۰ تا ۱۱۰ نانومتر است و عدم وجود بید در این شکل قابل مشاهده است.



شکل ۱- تصاویر SEM نانو الیاف پلی اکریلونیتریل

<sup>۱</sup> Scanning Electron Microscop (SEM)

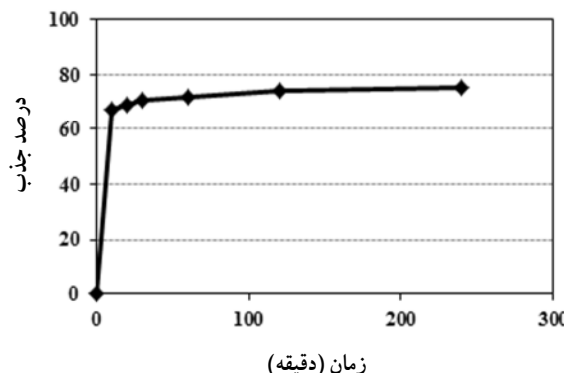


#### ۴-۳- تأثیرات زمان بر مقدار جذب

میزان جذب یون فلزی کادمیم از محلول‌های نمکی آن برای نانوالیاف عامل دار شده در شکل ۴ ارائه شده است. نتایج نشان می‌دهد میزان برداشت یون‌های فلزی در دقایق نخست قرارگیری نانوالیاف در محلول بسیار سریع بوده و همانگونه که مشاهده می‌شود با گذشت زمان بیش از ۱۰ دقیقه، تغییر محسوسی در میزان جذب مشاهده نمی‌شود و الیاف به حالت حدی خود می‌رسند. همچنین مقدار تغییرات غلظت در فاصله زمانی ۱۰، ۲۰، ۳۰، ۶۰، ۱۲۰ و ۲۴۰ دقیقه در جدول ۲ نشان داده شده است.

#### ۴-۴- اثر دما

اثر دما بر میزان جذب یون‌های کادمیم در محدوده دمایی ۲۵ تا ۴۵ درجه سلسیوس برسی شد. با افزایش دمای جذب، میزان جذب یون‌های کادمیم اندکی افزایش می‌یابد. افزایش میزان جذب با دما نشان‌دهنده ماهیت گرم‌گیر بودن واکنش جذب است. البته این



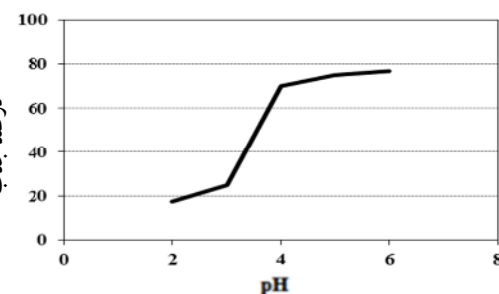
شکل ۴- تأثیرات زمان بر درصد جذب (غلظت اولیه ۱۰۰۰ میلی‌گرم در لیتر، مقدار جاذب ۰/۰۵ گرم، دمای ۲۵ درجه سلسیوس)

جدول ۲- تغییرات غلظت یون کادمیم با زمان (غلظت اولیه ۱۰۰۰ میلی‌گرم در لیتر، مقدار جاذب ۰/۰۵ گرم، دمای ۲۵ درجه سلسیوس)

درصد تغییرات	C <sub>i</sub> (mg/L)	Q <sub>i</sub> (mg/gr)	t(min)
.	۱۰۰۰	.	.
۶۶/۹۱	۳۳۰/۸۷۸	۱۲۱۶/۵۸	۱۰
۶۸/۸۴	۳۱۱/۵۸۵	۱۲۱/۶۶	۲۰
۷۰/۴۸	۲۹۵/۱۰۳	۱۲۸۱/۶۳	۳۰
۷۱/۸۵	۲۸۱/۴۹۸	۱۳۰۶/۳۶	۶۰
۷۳/۹۶	۲۶۰/۳۸۱	۱۳۴۴/۷۶	۱۲۰
۷۵/۰۴۴	۲۴۹/۵۶	۱۳۶۴/۴۳	۲۴۰

#### ۴-۴- تأثیر pH

هر نمک فلزی در محدوده خاصی از pH محلول بوده و با کاهش اسیدیتۀ محلول شروع به رسوب می‌کند. بنابراین برای به دست آوردن حداکثر جذب یون فلزی و رسیدن به شرایط بهینه لازم است pH محیط تا حدی که حلایت فلز اجازه می‌دهد بالا باشد [۱۰]. در این پژوهش حدود ۸۰ درصد از یون‌های کادمیم در pH برابر ۶ تا ۷ جذب شدند و با پایین آمدن pH و رسیدن آن به عدد ۵، مقدار جذب کاهش یافت و به ۷۰ تا ۷۵ درصد رسید. با کاهش pH موجود در محلول جذب شد و در pHهای پایین‌تر از ۴، مقدار جذب به شدت کاهش یافت. به طور کلی می‌توان گفت با پایین آمدن pH مقدار جذب کاهش پیدا می‌کند. بیشترین مقدار جذب در pH بین ۵ تا ۷ اتفاق افتاد که در شکل ۳ و جدول ۱ تغییرات غلظت یون‌های کادمیم با تغییر pH نشان داده شده است.



شکل ۳- تأثیرات تغییرات pH بر درصد جذب (غلظت اولیه ۱۰۰۰ میلی‌گرم در لیتر، مقدار جاذب ۰/۰۵ گرم، دمای ۲۵ درجه سلسیوس)

جدول ۱- غلظت یون کادمیم در pHهای مختلف (غلظت اولیه

۱۰۰۰ میلی‌گرم در لیتر، مقدار جاذب ۰/۰۵ گرم، دمای ۲۵ درجه سلسیوس)

درصد تغییرات	Q <sub>i</sub> (mgr/gr)	C <sub>i</sub> (mgr/L)	pH
۱۷/۴۲	۳۱۶/۷۶۳	۸۲۵/۷۸	۲
۲۴/۹۹	۴۵۴/۵۴	۷۵۰/۰۱	۳
۶۹/۹۶	۱۲۷۲/۲۷	۳۰۰/۳۶	۴
۷۵/۰۴	۱۳۶۴/۴۳	۲۴۹/۵۶	۵
۷۶/۶۱	۱۳۹۲/۹۶	۲۳۳/۸۷	۶
۸۰	۱۴۵۶/۱۴	۱۹۹/۱۲	۶/۵

از طرفی با افزایش pH وارد شدن به محدوده قلیایی بین ۸-۱۲ یون‌های کادمیم به صورت رسوب در محلول دیده می‌شوند که ناشی از واکنش یون‌های کادمیم با OH و تشکیل رسوب هیدروکسید کادمیم در محلول است.

نتایج نشان می‌دهد با افزایش غلظت، مدت زمان لازم برای جذب افزایش فاحشی نداشته به نحوی که کماکان در حدود ۱۰ دقیقه پس از زمان قرارگیری لیف در محلول، نانوالایاف به حالت حدی خود می‌رسند که در شکل ۶ مشاهده می‌شود.  
بازدهی جذب به صورت رابطه زیر تعریف می‌شود.

$$Y = \frac{C_1 - C_2}{C_1} \times 100 \quad (3)$$

در مورد بازدهی جذب در غلظت‌های اولیه کمتر، نسبت تعداد اولیه یون‌های فلزی به مکان‌های جذب در دسترس کمتر و بازدهی بیشتر است در حالی که در غلظت‌های بالاتر، مکان‌های جذب در دسترس کمتر است و در نهایت مراکز جذب اشباع می‌شود که این باعث کاهش بازدهی جذب می‌شود [۱۳ و ۱۴].

### ۷-۳- بررسی مدل‌های جذب

در این بخش نتایج تجربی به دست آمده با دو مدل ایزوترم معروف لانگمیر<sup>۱</sup> و فرونالیچ<sup>۲</sup> مقایسه شده و نمودارهای حاصل آورده شده است.

#### ۱-۷-۳- ایزوترم لانگمیر مدل لانگمیر به صورت زیر است

$$Q_e = \frac{Q_{\max} b C_e}{1 + b C_e} \quad (4)$$

رابطه بالا می‌تواند به صورت نیز نوشته شود

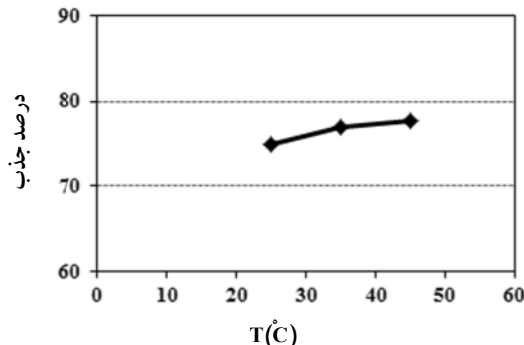
$$\frac{C_e}{Q_e} = \left( \frac{1}{b Q_m} \right) + \left( \frac{1}{Q_m} \right) C_e \quad (5)$$

به منظور بررسی این مدل، محلول‌هایی با غلظت‌های مختلف تهیه شد و پس از نیم ساعت، غلظت محلول صاف شده با نانوالایاف ۳۰ درصد عامل دار شده اندازه‌گیری شد. نتایج در شکل ۷ نشان داده شده است [۱۵ و ۱۶].

در مدل لانگمیر فرض‌های مهم زیر صادق است:

- ۱- بخش‌های مختلف سطح جاذب فعالیت یکسانی در جذب دارند؛
- ۲- هیچ برهمنکشی بین مولکول‌های جذب شده وجود ندارد و همه مولکول‌ها با مکانیسم مشابهی جذب می‌شوند [۱۶]؛
- ۳- بیشینه مقدار جذب یک لایه پوشش کامل بر روی سطح است.

<sup>1</sup> Langmuir  
<sup>2</sup> Freundlich



شکل ۵- تأثیرات تغییر دما بر مقدار جذب (غلظت اولیه ۱۰۰۰ میلی‌گرم در لیتر، مقدار جاذب ۰/۰۵ گرم)

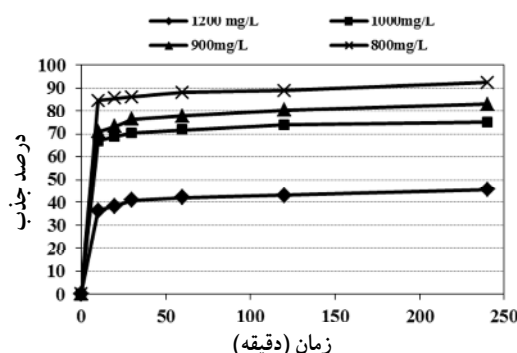
افزایش اندک بوده و تقریباً دما بر میزان جذب تأثیر ناچیز دارد [۱۱]. تأثیر تغییر دما بر میزان جذب در شکل ۵ و تغییرات غلظت با دما در جدول ۳ نشان داده شده است.

جدول ۳- تغییرات غلظت با دما (غلظت اولیه ۱۰۰۰ میلی‌گرم در لیتر، مقدار جاذب ۰/۰۵ گرم)

درصد تغییرات	Qe (mg/gr)	Ce (mg/lit)	T (°C)
۷۵/۰۴	۳۶۴/۴۳	۲۴۹/۵۶	۲۵
۷۶/۹۳	۱۳۹۸/۸۱	۲۳۰/۶۵۴	۳۵
۷۷/۷۴	۱۴۱۳/۵۱	۲۲۲/۵۶۷	۴۵

### ۶-۳- اثر غلظت اولیه نمک فلزی

روند تغییرات جذب یون کادمیم با افزایش غلظت اولیه نمک فلزی در شکل ۶ نشان داده شده است. با توجه به شکل، با افزایش غلظت یون فلزی روند جذب شدت بیشتری می‌یابد اما از محدوده خاصی این روند کند شده و منحنی به یک حالت حدی می‌رسد که نشانگر درجه اشباع لیف بوده و با افزایش غلظت، میزان جذب فلز افزایش نمی‌یابد [۱۲ و ۱۱].



شکل ۶- اثر غلظت اولیه بر مقدار جذب (مقدار جاذب ۰/۰۵ گرم، دمای ۲۵ درجه سلسیوس)

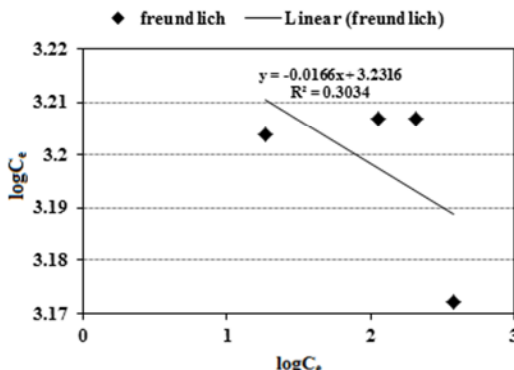
$$Q_e = KC_e^{1/n_e} \quad (7)$$

فرم خطی رابطه فروندلیج به صورت زیر است

$$\ln Q_e = \ln k_f + \frac{1}{n} \ln C_e \quad (8)$$

نمودار رابطه خط راست مدل فروندلیج در شکل ۸ نشان داده شده است.

در رابطه فروندلیج،  $K_f$  ثابت معادله است که وابسته به ظرفیت جذب جاذب است و  $1/n$  ثابت دیگر رابطه است که مربوط به درجه نایکنواختی جذب یون‌های فلزی در سیستم و یکسان نبودن اندازه مولکول‌های جذب شده است [۱۶].



شکل ۸- نمودار خطی مدل فروندلیج برای کادمیم

با توجه به مقادیر  $R^2$  بدست آمده، ایزوترم فروندلیج مدل مناسبی برای توضیح چگونگی توزیع یون‌ها در فاز محلول و فاز لیف نیست [۱۶].

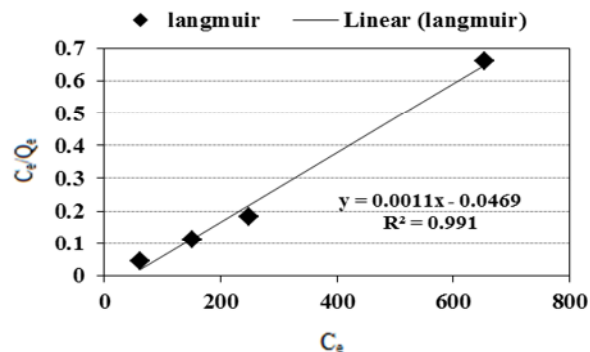
### ۳-۸- محاسبه سینتیک واکنش جذب

مطالعه دینامیک جذب، سرعت برداشت حل شونده که زمان برداشت جذب شونده را در مرز جامد- محلول کنترل می‌کند، توضیح می‌دهد. سرعت جذب یون‌های فلزی روی سطح الیاف اصلاح شده با استفاده از مدل‌های درجه ۱ سرعت و درجه ۲ و نفوذ درون ذره‌ای سرعت آنالیز شد.

درجه تطابق بین داده‌های آزمایشگاهی و نظری با ضریب تعیین  $R^2$  بیان شده است که مقادیر بالای  $R^2$  تطابق خوب مدل موردنظر با سرعت جذب فلز را بیان می‌کند [۱۵ و ۱۷].

### ۳-۱-۸- رابطه درجه ۱ سرعت

رابطه درجه اول سرعت به صورت زیر مطرح است



شکل ۷- ایزوترم لانگمیر

پارامترها و رابطه‌های بدست آمده در این مدل در جدول ۴ نشان داده شده است.

این نتایج نشان می‌دهد جذب یون‌های کادمیم از مدل لانگمیر تبعیت می‌کند و جذب تک لایه‌ای وجود دارد. مقادیر بالای b نشان‌دهنده اتصال قوی بین یون‌های فلزی و گروههای عاملی است و این اتصال قوی می‌تواند مؤید مکانیسم کیلیت در جذب یون‌های کادمیم باشد.

فاکتور جدایش بی بعد  $R_L$  به صورت زیر تعریف می‌شود

$$R_L = \frac{1}{1+bC_0} \quad (6)$$

که در آن

$C_0$  غلظت اولیه یون فلزی و  $b$  ثابت لانگمیر است. مقدار  $R_L$  با توجه به تغییرات غلظت نمک‌های فلزی در جدول ۴ نشان داده شده است.

### جدول ۴- پارامترهای ایزوترم لانگمیر برای فلز کادمیم

نوع فلز	دما (K)	معادله حاکم	$R^2$	$Q_m$ (mmol/g)	b (l/mmol)
Cd(II)	۲۹۸	$y = 0.049 - 0.011x$	۰.۹۹۱	۰.۹۰۹	۰.۰۲۳

مشاهده می‌شود مقادیر  $R_L$  بین صفر و یک قرار دارند که نشان می‌دهد جذب یون‌های فلزی روی الیاف در محدوده غلظت انتخاب شده، جذب مناسبی بوده است. این مقادیر نشان می‌دهد که با افزایش غلظت اولیه تمایل جذب افزایش می‌یابد [۱۶، ۱۵ و ۱۷].

### ۳-۷-۲- مدل فروندلیج

رابطه فروندلیج به صورت  $Q_e = KC_e^{1/n_e}$  است

مقادیر به دست آمده برای ثابت سرعت و مقدار جذب نشان می‌دهد که سرعت جذب و میزان جذب یون کادمیم توسط نانوالیاف بسیار سریع‌تر و بیشتر از مقادیر گزارش شده برای میکروالیاف است [۱۷].

جدول ۵- پارامترهای رابطه درجه دوم برای فلز کادمیم		
$K_2$	$q_e$	$C_0(\text{mg/L})$
۰/۰۰۰۲۲	۱۰۰۰	۱۲۰۰
۰/۰۰۰۱۸	۱۴۲۸	۱۰۰۰
۰/۰۰۰۲۳	۱۴۲۸	۹۰۰
۰/۰۰۰۴۹	۱۴۲۸	۸۰۰

#### ۴- نتیجه‌گیری

در این پژوهش نانوالیاف پلی اکریلونیتریل به روش الکترورسی تولید شد. قطر الیاف به طور میانگین حدوداً ۱۰۰ نانومتر به دست آمد و الیاف دارای قطر یکنواخت و متفاوتی بودند. برای اصلاح سطح از آمین حاوی اتم‌های نیتروژن به منظور جذب یون‌های فلزات سنگین استفاده شد. سپس اصلاح سطح نانوالیاف توسط ATR مورد بررسی قرار گرفت که با آمین دار کردن الیاف کاهاش شدیدی در پیک  $12242\text{cm}^{-1}$  برای گروه  $\text{C}\equiv\text{N}$  در نانوالیاف عامل‌دار شده مشاهده شد که معرف درصد زیادی از تبدیل گروه‌های نیتریل به آمین می‌باشد. به علاوه حضور پیک‌های پهن جدید در  $11600\text{cm}^{-1}$  و  $1479\text{cm}^{-1}$  به ترتیب بیانگر ارتعاش کشنی گروه کربونیل آمیدی و ارتعاش خمی گروه  $\text{N}-\text{H}$  در آمین است. همچنین میزان برداشت یون‌های فلزی در دقایق نخست قرارگیری نانوالیاف در محلول بسیار سریع بود و با گذشت زمان بیش از ۱۰ دقیقه تغییر محسوسی در میزان جذب مشاهده نشد و جذب الیاف به حالت حدی خود رسید. مقدار جذب یون کادمیم بسیار وابسته به مقدار  $\text{pH}$  است، با کاهش  $\text{pH}$  میزان جذب کاهاش می‌یابد، بهترین مقدار جذب در  $\text{pH}$  بین ۵ تا ۷ مشاهده شد. با افزایش دمای جذب، میزان جذب یون‌های کادمیم اندکی افزایش یافت، البته این افزایش اندک بود؛ به عبارتی دما بر میزان جذب بی‌تأثیر است و افزایش میزان جذب با دما ماهیت گرمایشی بودن واکنش جذب را نشان می‌دهد. نتایج نشان می‌دهد جذب یون‌های کادمیم از مدل لانگمیر تعیین می‌کند و جذب تک لایه‌ای است. مقدار بالای  $\text{q}_e$  نشان دهنده اتصال قوی بین یون‌های فلزی و گروه‌های عاملی است و این اتصال قوی می‌تواند مؤید مکانیسم کی‌لیست در جذب یون‌های کادمیم باشد. مشاهدات نشان داد مدل سینتیکی درجه دوم، بر اساس فرض اشتراک یا تبادل الکترون‌ها بین جاذب و جذب شونده، تطابق خوبی با نتایج تجربی دارد [۱۷]. با توجه به رابطه بالا، مقدار  $q_e$  و  $k_2$  محاسبه شده در جدول ۵ نشان داده شده است.

$$\frac{dq_t}{dt} = k_1(q_e - q_t) \quad (9)$$

$$\ln(q_e - q_t) = \ln q_e - k_1 t \quad (10)$$

که در این روابط  $q_e$  مقدار یون فلزی جذب شده بر روی جاذب به ترتیب در زمان تعادل و در زمان  $t$  ثابت سرعت جذب است. در بررسی‌ها مشخص شده است برای جذب یون‌های فلزی به وسیله نانوالیاف، رابطه درجه اول نوشته شده صادق نیست [۱۵ و ۱۷].

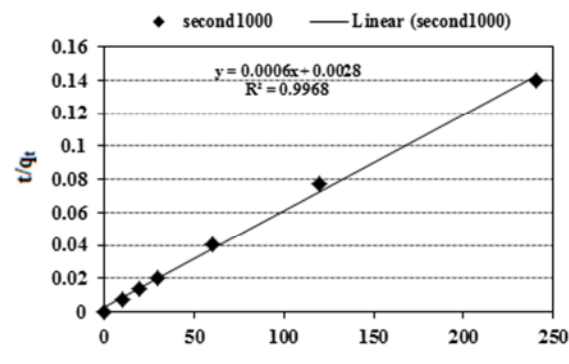
۲-۸-۳- رابطه درجه ۲ سرعت  
رابطه درجه دو سرعت به صورت زیر است

$$\frac{dq_t}{dt} = k_2(q_e - q_t)^2 \quad (11)$$

که در این روابط  $k_2$  ثابت سرعت جذب است. با جداسازی متغیرها و انتگرال‌گیری رابطه خطی زیر به دست می‌آید

$$\frac{t}{q_t} = \frac{1}{k_2 q_e^2} + \left( \frac{1}{q_e} \right) t \quad (12)$$

با رسم  $t/q_t$  بر حسب  $t$ ، خط راستی به دست می‌آید که شیب آن  $1/q_e^2$  و عرض از مبدأ آن  $1/k_2 q_e^2$  است. این نمودار در شکل ۹ نشان داده شده است.



شکل ۹- نمودار خطی رابطه درجه دو برای کادمیم

مشاهدات نشان می‌دهد مدل سینتیکی درجه دوم، بر اساس فرض اشتراک یا تبادل الکترون‌ها بین جاذب و جذب شونده، تطابق خوبی با نتایج تجربی دارد [۱۷]. با توجه به رابطه بالا، مقدار  $q_e$  و  $k_2$  محاسبه شده در جدول ۵ نشان داده شده است.

## ۶-مراجع

1. Bowen, H. J. M. (1979). *Environmental chemistry of the elements*, Academic press, London
2. Sigel, H. و Sigel, R. (2005). *Metal Ions in biological systems*, Marcel Deckker Inc., New York.
3. Ding, B., and Yu, J. (2014). *Electrospun nanofibers for energy and environmental applications*, Springer-verlag, Berlin.
4. Liu, R. Zhang, B., and Tang, H. (1998). "Dynamic adsorption and desorption of heavy metal ions on poly(acrylaminophosphonic-carboxyl-hydrazide) chelating fiber, Fresenius." *J. Anal. Chem.*, 362, 258-262.
5. Abdouss, M., and Musavi, A. (2012). "Fabrication of chelating diethylenetriamine pan micro and nano fibers for heavy metal removal." *Chemical Industry and Chemical Engineering Quarterly*, 18(1), 27-34.
6. Wang, J., Lua, CH., and Cao, B. (2014). "Mechanism study of selective heavy metal ion removal with polypyrrole-functionalized polyacrylonitrile nanofibers mats." *Applied Surface Science*, 316, 245-250.
7. Kampalanonwat, P., and Supaphol, P. (2011). "Preparation and adsorption behavior of aminated electrospun polyacrylonitrile nanofibers mats for heavy metal ion removal." *Applied Materials and Interface*, 12 (12) 3619-3627.
8. Karimi Neghlani, P., Rafizadeh, M., and Afshar Taromi, F. (2011). "Preparation of aminated-polyacrylonitrile nanofiber membranes for the adsorption of metal ions: Comparison with microfibers Nanofiber membranes." *Journal of Hazardous Materials*, 186, 182-189.
9. Saeed, K., Park, S., and Oh, T. (2011). "Prepartion and adsorption behavior of aminated electrospun polyacrylonitrile nanofiber mats for heavy metal ion removal." *ACS Applied Materials and Interfaces*, 2 (12), 869-873.
10. Feng, Q., Wang, X., Wei A., Wei, Q., Hou, D., Luo, W., Liu, X., and Wang, Z. (2011). "Surface modified polyacrylonitrile nanofibers and application for metal ions chelation." *Fibera and Polymers*, 12(8), 1025-1029.
11. Kiani, G. R., Sheikhloie, H., and Arsalani, N. (2011). "Heavy metal ion removal from aqueous solutions by functionalized polyacrylonitrile." *Desalination*, 269 (1-3), 266-270.
12. Ma, H., Hsiao, B. S., and Chu, B. (2013). "Electrospun nanofibrous membrane for heavy metal ion adsorption." *Current Organic Chemistry*, 17 (13), 1361-1370.
13. Mohamed, A., Fiikry, N. M., Shalaby, Th., and Aloufy, A. (2014). "The adsorption behavior polyacrylonitrile nanofiber by hexamethylene diamine for removing Pb(II), Cu(II) and Ni(II) metal ions from water." *International Journal of Chemical and Applied Biological Sciences*, 1, 52-56
14. Moghimi, A., Keyvani, P., and Abdouss, M. (2011). "Modified nano polyacrylonitrile fibers using for preconcentration of Hg(II) from sample water." *Australian Journal of Applied Sciences*, 5 (9), 1164-1171.
15. Zhao, X., Dong, Y., and Cheng, B. (2013). "Removal of textile dyes from aqueous solution by heterogeous photo-fenton reaction using modified pan nanofibers fe complex as catalyst." Hindawi publishing corporation. *International Journal of Photoenergy*, Vol. 2013, Article IB: 820165.
16. Foo, K.Y., and Hameed, B.H. (2010). "Insights into the modeling of adsorption isotherm systems." *Chemical Engineering Journal*, 156, 2-10
17. Huang, F., Xu, Y., Liao, Sh., Yang, D., and Hsieh, Y. (2013). "Preparation of amidoxime polyacrylonitrile chelating nanofibers and their application for adsorption of metal ions." *Materials*, 6, 969-980.